

## О ГАЛЬВАНОМАГНИТНЫХ ЯВЛЕНИЯХ В МАКРОСКОПИЧЕСКИ НЕОДНОРОДНЫХ ПЛЕНКАХ ВБЛИЗИ ПОРОГА ПРОТЕКАНИЯ В НАКЛОННОМ МАГНИТНОМ ПОЛЕ

Морозовский А. Е., Снарский А. А.

Определены эффективные гальваномагнитные характеристики тонких макроскопически неоднородных двумерных пленок в наклонном магнитном поле при концентрации хорошо проводящей фазы, большей порога протекания, и в области размазки. Указана область применимости полученных результатов.

В последнее время активно изучаются кинетические свойства сильно неоднородных сред, находящихся вблизи порога протекания  $p_c$  (концентрация хорошо проводящей фазы  $p$  таких сред незначительно отличается от  $p_c$ ). Одной из вызывающих интерес задач является определение гальваномагнитных свойств макроскопически неоднородных композитов. Для двумерной сильно неоднородной среды получены эффективные гальваномагнитные характеристики в перпендикулярном магнитном поле для любых значений магнитного поля [1-3]. Для трехмерной сильно неоднородной среды, находящейся вблизи порога протекания, концентрационные и полевые зависимости эффективных параметров были получены только для значений  $\beta \ll 1$ , где  $\beta$  — безразмерное магнитное поле [4]. Промежуточное положение между этими двумя задачами занимает задача о двумерной неоднородной среде в наклонном магнитном поле. В этом случае магнитное поле имеет не только  $z$ - ( $OZ$  — нормаль к пленке), но, например, и  $y$ -компоненту, при этом продольные (по отношению к плоскости пленки) компоненты плотности тока  $j_{\parallel}$  ( $j_x, j_y$ ) и поля  $E_{\parallel}$  ( $E_x, E_y$ ) могут «взаимодействовать» с поперечными компонентами  $j_x$  и  $E_x$ . При этом надо различать два случая: 1) двумерной среды  $\hat{\sigma} = \hat{\sigma}(x, y)$  с  $d \rightarrow \infty$  [5] ( $d$  — толщина пленки), 2) двумерно-неоднородной пленки  $\hat{\sigma} = \hat{\sigma}(x, y)$  ( $d$  конечно). В случае неоднородной пленки продольные, а следовательно, и поперечные компоненты полей и токов сложным образом зависят от всех трех координат. Задача о распределении полей и токов становится локально трехмерной, оставаясь при усредненном описании двумерной. Решение такой задачи, являющейся промежуточной между двумерными и трехмерными задачами, затруднительно. Для указанного выше случая  $d \rightarrow \infty$  в [5] были получены выражения для гальваномагнитных характеристик двумерных неоднородных сред в наклонном магнитном поле. Гальваномагнитные характеристики сильно неоднородных пленок ( $d$  мало), концентрация хорошо проводящей фазы которых меньше порога протекания  $p_c$ , были получены в [6]. В настоящей работе, являющейся продолжением [6], эти характеристики рассмотрены для смеси хорошо и плохо проводящих фаз, например металл-полупроводник или полупроводник-диэлектрик для случая  $p > p_c$ .

Для описания свойств сильно неоднородных сред вблизи порога протекания были предложены разнообразные модели: одножильной сетки [7], подобия [8], фрактальные [9] (см. также обзор [10]) ( $p > p_c$ ), «прослойки» [11-13] ( $p < p_c$ ).

Модели, используемые для описания кинетических свойств сильно неоднородных сред, позволяют выразить критический индекс эффективной проводимости через критический индекс  $\nu$  [ $L \sim a_0 \tau^{-\nu}$ , где  $L$  — корреляционный радиус,  $\tau = (p - p_c)/p_c$ ]. Однако разные модели дают разные выражения, связываю-

щие критические индексы  $t$  и  $\nu$ . В то же время существует ряд величин (термоэдс, коэффициент Холла), критические индексы которых связаны только с критическим индексом проводимости [5].

Таким образом, появляется возможность связать геометрические характеристики модели сильно неоднородной среды вблизи порога протекания, используемой для определения концентрационного поведения кинетических характеристик, с концентрационным поведением простейшей из кинетических характеристик — эффективной проводимости. Такой подход основан на моделях [7] и [11].

Используемая в работе модель состоит в следующем [14]. Мы предполагаем, что в каждом из объемов с характерным размером  $L$  в среднем находится один мостик, на котором и набирается основное сопротивление. Характерные размеры приведены на рис. 1. Отличие от модели «одножильной» сетки состоит

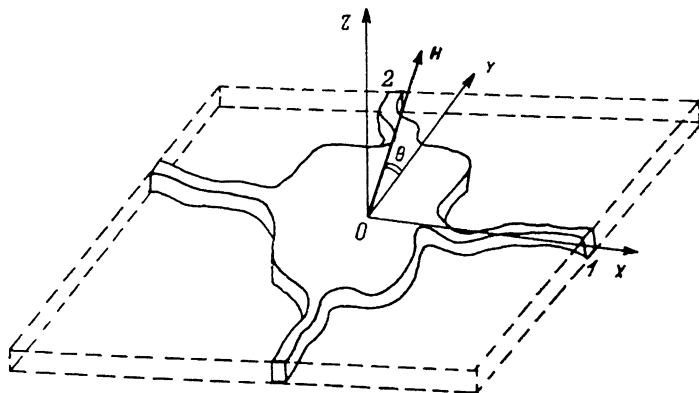


Рис. 1. Сильно неоднородная двумерная среда справа от порога протекания в наклонном магнитном поле.

Характерные объемы размером  $L \times L \times d$  в двумерном случае ( $d$  — толщина пленки) состоит из двух «баз» площадью  $S_1 \approx Ld$  и длиной  $L/2$ , тонких мостиков 1, 2 с поперечными размерами  $a_0$ ,  $d$  ( $a_0$  — минимальный размер в плоскости  $XY$ ; мы для простоты говорим об одножильности связи, хотя ее толщина может быть несколько  $a_0$ ) и длиной  $l$ . Будем предполагать, что мостики являются «измятыми», т. е. в них присутствуют участки любого направления.

в учете в предлагаемой модели мостика многожильных связей, характерный поперечный размер которых остается, однако, порядка  $a_0$ , и конкретных соотношений, налагаемых на геометрические параметры [см. (2)]. Согласно этому, считая, что сопротивлением баз по сравнению с сопротивлением мостика можно пренебречь, получим сопротивление области с характерным размером порядка  $L$ :  $R \approx (\sigma_1 a_0 d / l + \sigma_2 S / l_0)^{-1}$ , где  $\sigma_1$ ,  $\sigma_2$  — проводимости хорошо и плохо проводящих фаз,  $S$  — характерная площадь диэлектрической прослойки, подсоединенной параллельно мостику (рис. 1),  $l_0 \approx a_0$  — толщина прослойки. С другой стороны, сопротивление параллелепипеда объемом  $L \times L \times d$  можно представить в виде  $R \approx L (\sigma^e L d)^{-1}$ , где  $\sigma^e$  — эффективная проводимость. Отсюда получаем

$$\sigma^e \approx \sigma_1 \frac{a_0}{l} + \sigma_2 \frac{S}{l_0 d}. \quad (1)$$

Из теории протекания [15] известно, что в критической области [ $h \ll 1$ ,  $\Delta \ll \tau \ll 1$  ( $h = \sigma_2 / \sigma_1$ ),  $\Delta = h^{1/(t+q)}$  — область размазки,  $t$  и  $q$  — критические индексы]  $\sigma^e$  определяется выражением  $\sigma^e \approx \sigma_1 \tau^t (A_0 + A_1 h \tau^{-(t+q)})$ . Основным предположением рассматриваемой модели является соответствие концентрационной зависимости  $\sigma^e$  ( $\tau$ ) и (1). Чтобы (1) правильно описывала концентрационную зависимость  $\sigma^e$ , следующую из теории протекания, необходимо выполнение условий

$$\frac{a_0}{l} \sim \tau^t, \quad \frac{S}{l_0 d} \sim \tau^{-q}. \quad (2)$$

Из соотношения (2) следует, что поперечный размер мостика значительно меньше продольного ( $\tau^t \ll 1$ ). Логично предположить, имея в виду вытянутую

форму мостика, что в нем встречаются участки разных ориентаций с примерно одинаковой вероятностью.

Вышеприведенные рассуждения легко распространить на трехмерный случай [14]. В [14] также показано, что рассмотренная геометрическая структура позволяет описать концентрационное поведение термоэдс  $-\alpha$ .

При определении концентрационных и полевых зависимостей гальваномагнитных характеристик пленок в наклонном магнитном поле уже недостаточно информации о мостиках, которые вытянуты вдоль направления среднего электрического поля (рис. 1, мостик 1). Теперь (во внешнем наклонном магнитном поле) необходимо учитывать размеры и форму мостиков, подобных мостику 2 на рис. 1. Считая мостики примерно одинаковыми (это следует из изотропности образца), получаем, что отношение ширины  $a_0$  к длине  $l$  определяется для мостика 2 тем же соотношением (2).

Запишем тензор локальной проводимости  $\hat{\sigma}_{ik}(\theta)$  в системе координат  $(x, y, z)$  [рис. 1;  $\mathbf{H} = \mathbf{H}(0, H_1, H_\perp)$ ]:

$$\hat{\sigma}(\theta) = \begin{pmatrix} \sigma_x & \sigma_a \cos \theta & \sigma_a \sin \theta \\ -\sigma_a \cos \theta & \sigma_x \cos^2 \theta + \sigma_y \sin^2 \theta & (\sigma_x - \sigma_y) \cos \theta \sin \theta \\ -\sigma_a \sin \theta & (\sigma_x - \sigma_y) \cos \theta \sin \theta & \sigma_x \sin^2 \theta + \sigma_y \cos^2 \theta \end{pmatrix}, \quad (3)$$

где  $\sigma_x, \sigma_a, \sigma_y$  — компоненты тензора проводимости в собственной системе  $(x', y', z')$ , в которой  $\mathbf{H} \parallel OZ'$ . Учтем, что в такой тонкой пленке локальных токов вдоль  $OZ$  нет, т. е.

$$j_x = \sigma_{xx} E_x + \sigma_{xy} E_y + \sigma_{xz} E_z = 0, \quad (4)$$

где  $\sigma_{xx}, \dots$  — компоненты тензора (3). Взяв  $E_z$  из условия (4) и подставив его в  $j_x$  и  $j_y$ , получим выражения для плотности тока с «перенормированными» проводимостями  $\hat{\sigma}_{ik}$

$$j_x = \hat{\sigma}_{xx} E_x + \hat{\sigma}_{xy} E_y, \quad j_y = \hat{\sigma}_{yx} E_x + \hat{\sigma}_{yy} E_y, \quad (5)$$

где

$$\begin{aligned} \hat{\sigma}_{xx} &= \sigma_{xx} - \frac{\sigma_{xz} \sigma_{zx}}{\sigma_{zz}}, & \hat{\sigma}_{xy} &= \sigma_{xy} - \frac{\sigma_{xz} \sigma_{zy}}{\sigma_{zz}}, \\ \hat{\sigma}_{yx} &= \sigma_{yx} - \frac{\sigma_{yz} \sigma_{zx}}{\sigma_{zz}}, & \hat{\sigma}_{yy} &= \sigma_{yy} - \frac{\sigma_{yz} \sigma_{zy}}{\sigma_{zz}}. \end{aligned} \quad (6)$$

Рассмотрим вначале случай, когда  $\mathbf{H}_\perp$  лежит вдоль среднего поля  $\langle \mathbf{E} \rangle$ , причем  $\langle \mathbf{E} \rangle \parallel OX$ . Выпишем все условия, налагаемые геометрией среды и внешними условиями на величины локальных полей и токов в среде.

1) Среднее электрическое поле вдоль оси  $y$  равно нулю:

$$\langle \mathbf{E}_y \rangle = 0 \quad (7)$$

2) Весь ток, текущий в базе вдоль оси  $OX$ , проходит через мостик 1, аналогично для направления  $OY$  — через мостик 2,

$$j_x^b = j^x(1) \frac{b}{L}, \quad j_y^b = j^x(2) \frac{b}{L}, \quad (8)$$

где  $j_x^b, j_y^b$  — проекции плотности тока в базе на направления  $x$  и  $y$ ,  $j^x(1), j^x(2)$  — плотности токов в мостиках 1 и 2 соответственно.

3) Разность потенциалов вдоль  $OX$  на границах объема  $L \times L \times d$  набирается в базе и мостике:

$$\Delta \Phi(2) + E_x^b L = \langle \mathbf{E} \rangle L, \quad (9)$$

где  $E_x^b$  — проекция напряженности электрического поля в базе на ось  $x$ ,  $\Delta \Phi(2)$  — разность потенциалов на мостике 2.

Определим сопротивление мостика 1, вытянутого вдоль оси  $OX$ , через  $R_x$ . Пусть вдоль одного из направлений в среде проводимость равна  $\hat{\sigma}_{\min}$ , а вдоль другого — соответственно  $\hat{\sigma}_{\max}$ . Тогда, так как в мостике есть участки разной ориентации,  $R_x$  будет равно

$$R_x \approx l (\hat{\sigma}_{\min} 2bd)^{-1} + l (\hat{\sigma}_{\max} 2bd)^{-1}.$$

Если  $\tilde{\sigma}_{\min} \ll \tilde{\sigma}_{\max}$ , то  $R_{\text{ж}} \approx l (\tilde{\sigma}_{\min} 2bd)$ ,  $\sigma^e \approx 2\tilde{\sigma}_{\min} \tau^l$ . Это выражение совпадает с выражением (45а) из работы [5] (совпадает даже множитель 2). Считая, как и ранее, что в мостиках есть участки разной ориентации, схематически представим мостики 1 и 2 в виде, изображенном на рис. 2, где буквой А обозначены те участки, в которых с минимальной проводимостью течет ток вдоль направления, а В — с максимальной. Обозначим линию, вдоль которой течет ток в мостике 1, через  $x'$ , а в мостике 2 — через  $y''$ . Тогда в соответствии с предыдущим  $\tilde{\sigma}_{x'x'}^A = \tilde{\sigma}_{\min}$ ,  $\tilde{\sigma}_{x'x'}^B = \tilde{\sigma}_{\max}$ ,  $\tilde{\sigma}_{y''y''}^A = \tilde{\sigma}_{\min}$ ,  $\tilde{\sigma}_{y''y''}^B = \tilde{\sigma}_{\max}$ . Обозначим также через  $y'$ ,  $x''$  линии эквипотенциалей соответственно в мостиках 1 и 2. Тогда  $\tilde{\sigma}_{y'y'}^A = \tilde{\sigma}_{x''x''}^A = \tilde{\sigma}_{\max}$ ,  $\tilde{\sigma}_{y'y'}^B = \tilde{\sigma}_{x''x''}^B = \tilde{\sigma}_{\min}$ . В мостике 1 ток не течет вдоль  $y'$ , а в мостике 2 — вдоль  $x''$ :

$$j_{x''}^A(2) = j_{x''}^B(2) = 0, \quad j_{y'}^A(1) = j_{y'}^B(1) = 0. \quad (10)$$

Учтем также тот факт, что ток, текущий на участке А, для любого из мостиков (1, 2) такой же, как ток, текущий на участке В, т. е.

$$j_{y''}^A(2) = j_{y''}^B(2) = j_y^e \frac{L}{b}, \quad j_{x'}^A(1) = j_{x'}^B(1) = j_x^e \frac{L}{b}. \quad (11)$$

Из выражений (5)–(11) определяем  $E_x^e$ ,  $E_y^e$ :

$$E_y^e = \frac{\tilde{\sigma}_{xy} E_x^e}{\tilde{\sigma}_{yy} + 2\tau^l \frac{\tilde{\sigma}_{xy}^2}{\tilde{\sigma}_{\max} + \tilde{\sigma}_{\min}} + 2\tau^l \frac{\tilde{\sigma}_{\max} \tilde{\sigma}_{\min}}{\tilde{\sigma}_{\max} + \tilde{\sigma}_{\min}}}, \quad (12) \quad \text{Рис. 2. Часть мостика в увеличенном масштабе.}$$

$$E_x^e = \frac{\langle E \rangle \tau^l}{\tau^l + \frac{\tilde{\sigma}_{\min}/(\tilde{\sigma}_{\max} + 1) + 1}{2} \frac{\tilde{\sigma}_{xx} + \tilde{\sigma}_{xy}^2 (\tilde{\sigma}_{yy} + 2\tau^l \tilde{\sigma}_{xy}^2 (\tilde{\sigma}_{\max} + \tilde{\sigma}_{\min})^{-1})^{-1}}{\tilde{\sigma}_{\min} + \tilde{\sigma}_{xy}^2 (\tilde{\sigma}_{\max})^{-1}}}. \quad (13)$$

Выражений (12) и (13) достаточно, чтобы найти коэффициенты, связывающие  $x$ - и  $y$ -компоненты тока в базе со средним полем. Так как площадь базы порядка  $Ld$ ,  $j_{x,y}^e \approx \langle j_{x,y} \rangle$ , и, таким образом, указанные коэффициенты связывают между собой средние значения полей и токов, т. е. являются компонентами эффективного тензора проводимости. В тильдованных обозначениях (6) они имеют вид

$$\tilde{\sigma}_{xx}^e = (\tilde{\sigma}_{xx} + A) \tau^l \left[ \tau^l + \frac{\tilde{\sigma}_{\min}/\tilde{\sigma}_{\max} + 1}{2(\tilde{\sigma}_{\min} + \tilde{\sigma}_{xy}^2/\tilde{\sigma}_{\max})} (\tilde{\sigma}_{xx} + A) \right]^{-1},$$

$$\tilde{\sigma}_{xy}^e = \tilde{\sigma}_{xy} \tau^l \left[ \tau^l + \frac{\tilde{\sigma}_{\min}/\tilde{\sigma}_{\max} + 1}{2(\tilde{\sigma}_{\min} + \tilde{\sigma}_{xy}^2/\tilde{\sigma}_{\max})} A \right]^{-1} \left[ 1 - \frac{\tilde{\sigma}_{yy}}{\tilde{\sigma}_{xy}} A \right], \quad (14)$$

где

$$A = \tilde{\sigma}_{xy}^2 [\tilde{\sigma}_{yy} + 2\tau^l \tilde{\sigma}_{xy}^2 (\tilde{\sigma}_{\max} + \tilde{\sigma}_{\min})^{-1}]^{-1}.$$

Рассмотрим сначала вид полученных выражений при  $\theta = 0$ . Из (6) следует, что  $\tilde{\sigma}_{xx}(\theta = 0) = \tilde{\sigma}_{yy}(\theta = 0) = \tau_x$ ,  $\tilde{\sigma}_{xy}(\theta = 0) = -\tilde{\sigma}_{yx}(\theta = 0) = \sigma_a$ , а эффективные кинетические коэффициенты будут иметь вид  $\tilde{\sigma}_{xx}^e = (\tau_x^2 + \sigma_a^2) \tau^l \tau_x (\tau_x^2 + \sigma_a^2 \tau^{2l})^{-1}$ ,  $\tilde{\sigma}_{xy}^e = \sigma_a (\tau_x^2 + \sigma_a^2) \tau^{2l} (\tau_x^2 + \sigma_a^2 \tau^{2l})^{-1}$ , что совпадает с известными формулами [2]. Если  $\tilde{\sigma}_{\max} \gg \tilde{\sigma}_{\min}$ , то

$$\tilde{\sigma}_{xx}^e = \tilde{\sigma}_{yy}^e \approx \tilde{\sigma}_{\min} \frac{(\tilde{\sigma}_{xx} \tilde{\sigma}_{yy} + \tilde{\sigma}_{xy}^2) 2\tau^l}{\tilde{\sigma}_{xx} \tilde{\sigma}_{yy} + 4 \frac{\tilde{\sigma}_{\min}}{\tilde{\sigma}_{\max}} \tilde{\sigma}_{xy}^2 \tau^{2l}},$$

$$\tilde{\sigma}_{xy}^e = 4 \tilde{\sigma}_{xy} \frac{\tilde{\sigma}_{\min}}{\tilde{\sigma}_{\max}} \frac{\tau^{2l} (\tilde{\sigma}_{xy}^2 + \tilde{\sigma}_{xx} \tilde{\sigma}_{yy})}{(\tilde{\sigma}_{xx} \tilde{\sigma}_{yy} + 4\tau^{2l} \frac{\tilde{\sigma}_{\min}}{\tilde{\sigma}_{\max}} \tilde{\sigma}_{xy}^2)}. \quad (15)$$

Выражая теперь тильдованные компоненты  $\tilde{\sigma}_{ik}$  (6) через компоненты тензора  $\tilde{\sigma}$  [см. (3)] и угол наклона магнитного поля  $\theta$  и подставляя их в (15), получаем общее решение задачи. Мы не выписываем эти выражения ввиду их громоздкости.

Для исследования  $\delta^e$  рассмотрим простейшие полевые зависимости локальных компонент тензора проводимости  $\sigma_x = \sigma (1 + \beta^2)^{-1}$ ,  $\sigma_z = \sigma \beta (1 + \beta^2)^{-1}$ ,  $\sigma_y = \sigma$ . Теперь  $\tilde{\epsilon}_{ik}$  примет вид

$$\tilde{\epsilon}_{xx} = \frac{\sigma}{1 + \beta^2 \cos^2 \theta}, \quad \tilde{\epsilon}_{xy} = \sigma \frac{\beta \cos \theta}{1 + \beta^2 \cos^2 \theta}, \quad \tilde{\epsilon}_{yy} = \frac{\sigma}{1 + \beta^2 \cos^2 \theta}. \quad (16)$$

Подставляя (16) в (14), получаем

$$\tilde{\sigma}_{xx}^e = \frac{\sigma_1 \tau^t}{1 + \beta_1^2 \cos^2 \theta \tau^{2t}}, \quad \tilde{\sigma}_{xy}^e = \frac{\sigma_1 \beta_1 \cos \theta}{1 + \beta_1^2 \cos^2 \theta \tau^{2t}} \tau^{2t}, \quad \tilde{\sigma}_{yy}^e = \frac{\sigma_1 \tau^t}{1 + \beta_1^2 \cos^2 \theta \tau^{2t}}, \quad (17)$$

а эффективный коэффициент Холла будет равен

$$\tilde{R}^e = \frac{1}{H_x} \frac{\tilde{\sigma}_{xy}^e}{(\tilde{\sigma}_{xx}^e)^2 + (\tilde{\sigma}_{xy}^e)^2} = \frac{1}{H} \frac{\beta_1}{\sigma_1}. \quad (18)$$

Формулы (17), (18) отличаются от выражений для гальваномагнитных характеристик двумерных неоднородных сред, полученных в работе [5] в пределе  $d \rightarrow \infty$ . Кроме того, как следует из (18),  $\tilde{R}^e$  не зависит от угла и концентрации. Следует ожидать различия и в случае  $\tau \ll \Delta_0$ , где  $\Delta_0$  — область размазки. Действительно, используя полученные выражения (17), найдем область размазки, т. е. ту область концентраций, в которой происходит кроссовер — переход от одного критического поведения (например,  $\tilde{\sigma}_{xx}^e$  при  $\tau > 0$  падает при  $|\tau| \rightarrow 0$ ) к другому (при  $\tau < 0$   $\tilde{\sigma}_{xx}^e$  при  $|\tau| \rightarrow 0$  растет). В области размазки концентрационное и полевое поведение  $\delta^e$  отличается от такового вне области. Как показано в [5], стандартную область размазки  $\Delta_0 = h^m$  ( $m = 1/2t$ ) необходимо заменить на новую  $\Delta_H$ . При этом внутри новой области  $\Delta_H$   $\sigma^e$  (как и при  $H = 0$ , внутри  $\Delta_0$ ) не зависит от  $\tau$ .

Аналогично работе [16] находим область размазки  $\Delta$ , приравняв значения  $\tilde{\sigma}_{xx}^e = \tilde{\sigma}_{yy}^e$  и  $\tilde{\sigma}_{xy}^e$  слева и справа от порога протекания:

$$\tilde{\sigma}_{xx}^e (\tau = \Delta) = \tilde{\sigma}_{xx}^e (\tau = -\Delta), \quad \tilde{\sigma}_{xy}^e (\tau = \Delta) = \tilde{\sigma}_{xy}^e (\tau = -\Delta). \quad (19)$$

Подставляя в (19) значения  $\tilde{\sigma}_{xx}^e$  и  $\tilde{\sigma}_{xy}^e$  из (17) и работы [6] [ $\tilde{\sigma}_{xx}^e (\tau < 0) = \tilde{\sigma}_{yy}^e (\tau < 0) = \sigma_2 (1 + \beta_2^2 \cos^2 \theta)^{-1} |\tau|^{-q}$ ,  $\tilde{\sigma}_{xy}^e (\tau < 0) = \sigma_2 \beta_2 \cos \theta (1 + \beta_2^2 \cos^2 \theta)^{-1}$ ], при  $\beta_1 = \beta_2 = \beta$  получим

$$\Delta_H^{2t} = \frac{h}{1 + \beta_2^2 \cos^2 \theta - h \beta_1^2 \cos^2 \theta}. \quad (20)$$

Подставляя значение  $\Delta$  из (20), получим  $\tilde{\sigma}_{xx}^e (\tau = 0)$  и  $\tilde{\sigma}_{xy}^e (\tau = 0)$  (при  $\beta_2 = \beta_1 = \beta$ ):  $\tilde{\sigma}_{xx}^e = \sqrt{\sigma_1 \sigma_2} (1 + \beta^2 \cos^2 \theta)^{-1/2}$ ,  $\tilde{\sigma}_{xy}^e = \sigma_2 \beta \cos \theta (1 + \beta^2 \cos^2 \theta)^{-1}$ . Таким образом, оказывается, что при  $\theta = \pi/2$  мы получаем  $\sigma_{xx}^e = \sqrt{\sigma_1 \sigma_2}$ ,  $\sigma_{xy}^e = 0$ , совпадающие с обычными формулами Дыхне [17] для среды с геометрически эквивалентным расположением фаз, находящейся в магнитном поле  $H = 0$ .

В работе [18] получены поправки к сопротивлению образца, находящегося в магнитном поле, учитывающие конечность размеров и форму образца. Для пленки толщиной  $a_0$ , длиной  $a$  и шириной  $d$  ее сопротивление  $R(H)$  в перпендикулярном пленке магнитном поле будет равно при  $\Phi \ll 1$  ( $\text{tg } \Phi \approx \sigma_a / \sigma_x$ ,  $d \ll \ll a$ )

$$R(H) \approx \frac{a}{a_0 \sigma(H) d} \left( 1 + \Phi^2 \frac{14 S_3}{\pi^3} \frac{d}{a} \right), \quad (21)$$

при  $\Phi \ll 1$  и  $a \ll d$  (случай, рассмотренный в работе [5])

$$R(H) \approx \frac{a}{a_0 \sigma(H) d} \left[ 1 + \Phi^2 \left( 1 - \frac{14 S_3}{\pi^3} \frac{a}{d} \right) \right], \quad (22)$$

а при  $\Phi \rightarrow \pi/2$

$$R(H) \approx \frac{a}{a_0 \sigma(H) d} \left( 1 + \frac{d}{a} \text{tg } \Phi \right), \quad (23)$$

где  $\sigma(H) = (\sigma_x^2 + \sigma_y^2) / \sigma_x$ ,  $S_3 \approx 1.2021$ . При приведенных ранее расчетах сопротивления мостика мы считали равным

$$R_1(H) = \frac{l}{z(H) a, d}. \quad (24)$$

Суммарная длина всех участков мостика равна  $l$ , поэтому величины поправок  $R_1(H) - R(H)$  будут определяться вторыми членами в скобках в формулах (21) — (23). Рассмотрим влияние поправок к  $R_1(H)$  в случае, когда магнитное поле лежит в плоскости  $XOY$ . Из (21), (22) и (24) следует, что вне зависимости от того, какая часть участков мостика перпендикулярна магнитному полю и какие существуют соотношения между  $d$  и длиной этих участков  $a$ , величиной поправок к  $R_1(H)$  в слабом магнитном поле ( $\Phi^2 14 S_3 / \pi^3 \ll 1$ ) можно пренебречь. В сильном же магнитном поле величина поправки была бы максимальной, если бы весь мостик лежал перпендикулярно магнитному полю, так как на ток, текущий в участках мостика, параллельных магнитному полю, это магнитное поле не действует. Тогда максимально возможное отличие  $R(H)$  от  $R_1(H)$  было бы равно

$$R(H) - R_1(H) = \frac{d}{a_0 \tau^{-t}} \operatorname{tg} \Phi R_1(H). \quad (25)$$

Таким образом, область применимости выражений, полученных выше [формулы (17) и др.], определяется условием

$$\frac{d}{a_0 \tau^{-t}} \frac{\sigma_a}{\sigma_x} \ll 1 \quad (26)$$

для  $\sigma_a / \sigma_x \gg 1$ . В случае простейших зависимостей компонент тензора кинетических коэффициентов от магнитного поля неравенство (26) будет иметь вид

$$\frac{d}{a_0 \tau^{-1}} \beta_1 \ll 1; \quad (27)$$

для  $\beta_1 \gg 1$ . Следовательно, всегда можно найти при любом магнитном поле толщину  $d$  пленки, для которой проведенное выше рассмотрение остается справедливым.

#### Список литературы

- [1] Дыхне А. М. // ЖЭТФ. 1970. Т. 59. В. 2. С. 641—647.
- [2] Балагуров Б. Я. // ЖЭТФ. 1982. Т. 82. В. 4. С. 1333—1346.
- [3] Stroud D., Bergman D. J. // Phys. Rev. B. 1983. V. 30. N 1. P. 447—449.
- [4] Балагуров Б. Я. // ЖЭТФ. 1987. Т. 93. В. 5. С. 1888—1903.
- [5] Балагуров Б. Я. // ЖЭТФ. 1983. Т. 85. В. 2. С. 568—584.
- [6] Снарский А. А. // ФТП. 1988. Т. 22. В. 11. С. 2073—2077.
- [7] Скал А. С., Шкловский Б. И. // ФТП. 1974. Т. 8. В. 8. С. 1586—1592.
- [8] Левинштейн М. Е., Шур М. С., Эфрос А. Л. // ЖЭТФ. 1975. Т. 69. В. 16. С. 2203—2311.
- [9] Виноградов А. П., Сарычев А. К. // ЖЭТФ. 1983. Т. 85. В. 3. С. 1144—1152.
- [10] Соколов И. М. // УФН. 1986. Т. 150. В. 2. С. 221—255.
- [11] Шкловский Б. И. // ЖЭТФ. 1977. Т. 72. В. 1. С. 288—295.
- [12] Снарский А. А. // ЖЭТФ. 1986. Т. 91. В. 4. С. 1405—1410.
- [13] Лукьянец С. П., Снарский А. А. // ЖЭТФ. 1988. Т. 94. В. 7. С. 301—306.
- [14] Морозовский А. Е., Снарский А. А. // Преприят ИМФ АН УССР. Киев, 1987. № 20.
- [15] Efros A. L., Shklovskii B. I. // Phys. St. Sol. (b). 1976. V. 76. N 2. P. 475—485.
- [16] Балагуров Б. Я. // ЖЭТФ. 1982. Т. 82. В. 6. С. 2053—2067.
- [17] Дыхне А. М. // ЖЭТФ. 1970. Т. 59. В. 7. С. 110—115.
- [18] Lippmann V. H. J., Kuhrt F. // Zs. Naturforsch. 1958. V. 13a. P. 462—474.

Институт металлофизики АН УССР  
Киев

Получена 22.11.1988  
Принята к печати 7.03.1989